

日本大學生産工學部 正会員 遠藤茂勝
 " " " 落合奥
 " " " 三浦晃

1)はじめに

海岸構造物の設置や岸が増大するにつれ、構造物が設置される地盤の海象条件が異なってくるので、従来の構造物とは異なる特性に応じて、より複雑な構造物が要求される。例えば、構造物の大型化に対しては、安定性や耐衝撃性の面から鉛直の構造物が有利であるが、一方にありては、構造物天端高の低減化の問題や鉛直壁であるために反射波の問題などがあり、低天端で低反射の構造物の開発が望まれる。また、深い水深の不規則波を考えた場合、防護や波など、ある特定の波を对象として構造物を設計した場合には、実際の現地波よりも波高以上の波が必ず存在するので、それらの波に対しても十分効果を有するような構造物がないわけにはならない。従つてこのような対応するためには、従来の考え方とは異なった原理に基づく構造物を考える必要がある。このような観点の研究としては、合田への研究があり、種々な構造形式を提案している。その中でもパラヤット後退型護岸についでは高田¹⁾によって系統的研究がなされた。そこで本論では、パラヤット後退型護岸の防波止波機能、構造物の一時的防護機能を考えれば、防波堤などにはきわめて有効な機能と考えられ、この機能を積極的に利用する考え方から、図-1に示すような幅の広い天端を有する鉛直壁の天端上の陸側にシルを設けた形の構造物を考えこれを貯留型構造物と呼ぶことにし、その構造物の前面水位および貯留量と越波量の関連等について検討した。

2)実験方法

実験は図-1に示した貯留型構造物が重複波水深領域に設置された場合の前面水位と越波量について検討したが、衝撃の決定に当つてはパラヤット後退型護岸の研究成果をもとに、堤体天端高 H_c を想定波高との波高差とし、天端幅 l は 3.5 波高、そして天端上のシル高 hs については、想定波高が天端高 H_c の鉛直壁面に衝突した時の越波量の 2 倍の波高の波高を対象とした。そして、想定波高を約 8.0 cm と考えたので堤体諸元は $H_c = 4.0 \text{ cm}$, $l = 28.0 \text{ cm}$, $hs = 40 \text{ cm}$ で、入射波の周期は $T = 1.40, 1.80, 2.20 \text{ sec}$ の 3 種類とし、それぞれ 8 種類の波高の波をもろりに。

3)実験結果および考察

この種の構造物では、鉛直壁の天端上にうちあひづれに波はシルの作用によつてせき止められるので、想定波は入射波の引き波時に多く流れとして入射側にもどり、次の入射波と干渉する。その結果部分重複波の壁面付近での運動が複雑になると考へられるので、越波力に支配的な係数を持つ前面水位について測定し、と山河²⁾まとまとめたものが図-2に示されるものである。

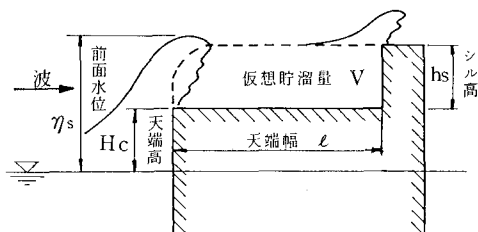


図-1 貯留型構造断面図

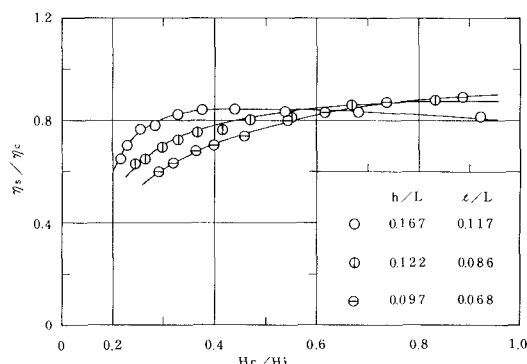


図-2 構造物前面水位

この結果は、横軸に天端高 H_c に対する入射波高 H_i の比をとり、縦軸には、前面水位 η_s と通常の鉛直壁にあける部分重複波の前面水位 η_0 の比をとっ

示したものであるが、これらの結果によれば、貯留型構造物の前面水位は、同一の末端高を有する斜面壁前面の水位より減り入ることがわかる。このことは、このような構造を持つ堤本へのうるさい施設量が減り込むことを意味するものと考えられる。

次に越波量について検討する。いま鉛直壁面からのうつかけ越波量の天端上の侵食削除量 Δ より十分多くシルの天端を被ること構造物背後に吹き飛ぶ時、天端上の侵食削除量が有力に作用して貯留結果を持つとすれば、背後の越波量 Q_m はその分だけ減少するはずである。また一方、越波量の貯留量 Δ より少なければ、全く吹き飛ばいかという問題である。これについては、現象が異なると考えられるので 2 つの場合に分けて考えることとし、前者における、 $Q > \Delta$ の時における逆説的に次式が成立するものと考える。

$$Q - \nabla = Q_c \quad \dots \quad (1)$$

ここでQ1は、天端高H₀をもつ鉛直壁への防護壁複波の剥離量(次式で求められる)。²⁾

$$Q = 2C \left\{ \frac{\alpha H_{0L}}{2\pi} \sin k x_c + \beta \eta_0 x_c - H_c x_c \right\}$$

$$\text{因此 } \alpha = 0.65 + 0.35 \frac{H_e}{H_i}, \beta = 0.65, C = 0.22 \quad (2)$$

$$\eta = (14.83 - 52.81 \frac{k}{L}) \frac{H_i}{L}, k = \frac{2\pi}{L}$$

また χ_0 は初期複波の波形 $\eta_0(t)$ と交わる座標の変動に平行な距離.

$$\eta' = \alpha H_i \cos kx + \beta \eta_0$$

このように計算上の Q_{c}^{g} が(1)式より求められるので、実際の施工量 Q_{m} とそれを較べれば施工効率がわかる。

また、 $Q < V$ の時には、Volume的に構造物背後には逆波(波)が生じることになるか。実際には天端上を走った波の一部がガシルに衝突して越波が生じるもので(1)式の越波量とは異なる。従つこの場合には日と Qm について調べた。それらをまとめのが図-3である。これらの結果によれば、 $Q > V$ の時には、背後の越波量は、計算上求められた量よりかなり少くなりことがある。この主要な原因是、実験中の観察でも認の如くように、前面水位が高くなる時には、天端上を走った波の一部がガシルに激しく衝突し多くの飛沫を発生させ、ガシルの量がガシルで反射してもどり入射していく波とも衝突するので著しい乱れが発生し、それが越波量の減少に寄与するものと思われる。ま

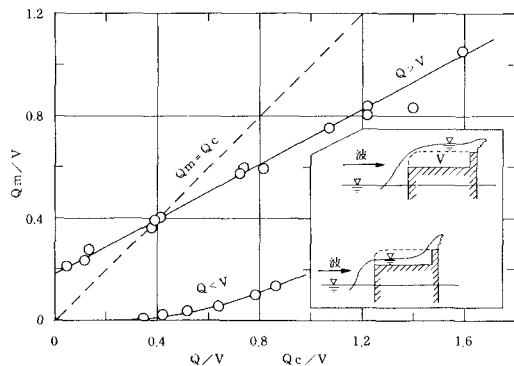


図-3 脱離型樹脂物の機械式

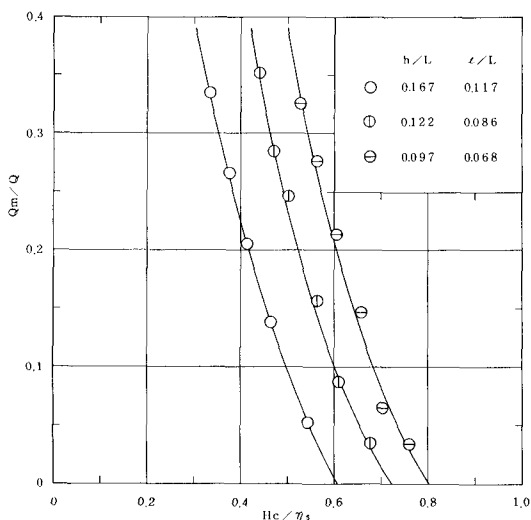


図-4 貯溜型構造物の前面水位と越波量

た。水位が低くうろあけ越波量が少い時は、越流的荷残となり、シル面での乱れも少なくなむ。ただしこの場合のオガ波の奥側荷Pのうろあけ高が「高い」ようなると、越波量として多くなり、図の下のオガ結果を裏づけているので「はない」かと思われる。またこの傾向は、よくアの場合の越波量が多い時の現象と相似していた。図-4は前面水位と背後の荷残量をまとめたものであるが、最前壁構造物の越波量は、直構造のものよりも減少させることができた。

参 考 文 献

- 1) 高田彰、藤川清生：ハーバード復讐型傳手のうちあげ、
朝波石川波庄叶生。第25回海講論文集、1978
 - 2) 遠藤英勝、三浦晃：部分復讐派の初期流作成研究
量（原稿）：7112、第13回鹿児島学術研究発表会 II-38